Diaminopyridazine aus Diaminocyclopropenyliumsalzen und (Diazomethyl)- Verbindungen [1]

Heinrich Heydt, Philipp Eisenbarth, Karin Feith und Manfred Regitz*

Fachbereich Chemie der Universität Kaiserslautern, Erwin-Schrödinger-Straße,
D-6750 Kaiserslautern, West Germany
Eingegangen am 18 Dezember 1984

Diaminocyclopropenyliumsalze (14a,b) reagieren in Dichloromethan mit den phosphorylierten Diazomethanen 15a-e in Gegenwart von Ethyl-diisopropylamin bzw. 1,5-Diazabicyclo[4.3.0]non-5-en spezifisch zu den 4,5-Diaminopyridazinen 16a-f. Aus dem Salz 14c und den Diazomethylverbindungen 15a,c,d sowie f-k in Dichlormethan im Beisein der bicyclischen Base bilden sich dagegen die 3,4-Diaminopyridazine 17a-i. In mechanistischer Hinsicht ist die Bildung intermediär auftretender (Diazomethyl)cyclopropene (14a,b + 15 \rightarrow 18) bzw. (14c + 15 \rightarrow 19) im Sinne der elektrophilen Diazoalkansubstitution zu interpretieren; weder 18, noch 19 lassen sich isolieren, sondern gehen eine rasche [1,5]-Cyclisierung zu den Betainen 20 bzw. 21 ein, die abschließend durch Öffnung der Brückenbindung zu den Pyridazinen 16 bzw. 17 isomerisieren.

J. Heterocyclic Chem., 23, 385 (1986).

Pyridazine haben Bedeutung als pharmakologische Wirkstoffe erlangt [2]; ihren verallgemeinerungsfähigen Synthesen [3,4] liegen drei Aufbauprinzipien zugrunde:

1) Die [4+2]-Cycloaddition von 1,2,4,5-Tetrazinen 2 an Alkine 1, die über die nicht faßbaren Addukte 3 zu den Pyridazinen 5 führt. Verwendet man Alkene anstelle von Alkinen, so müssen die dabei gebildeten Dihydropyridazine noch oxidiert werden. Akzeptorsubstituenten in 2 und Donorsubstituenten in 1 bzw. den Alkenen begünstigen zumindest die einleitende Hetero-Diels-Alder-Reaktion.

 Die Kondensationsreaktion von ungesättigten 1,4-Diketonen 4 mit Hydrazin, die unmittelbar zum Ziel führt.

Formel 1

Geht man dagegen von 1,4-Diketonen aus, so müssen die zunächst gebildeten 4,5-Dihydropyridazine wie zuvor noch zu 5 dehydriert werden.

3) Die [4+2]-Cycloaddition zwischen 1,3-Dienen 6 und Azoverbindungen wie etwa Azodicarbonsäureestern 7, die die 1,2-Dihydropyridazine 8 liefert. Verseifung, Decarboxylierung sowie Dehydrierung machen erneut die Schlüsselsubstanzen zugänglich.

In den letzten Jahren ist nun ein weiterer, recht universeller Zugang zu Pyridazinen bekannt geworden: In dessen Mittelpunkt stehen 3-Diazomethyl-1,2-cyclopropene (10) von denen an einigen wenigen Beispielen gezeigt wurde, daß sie zu 11 isomerisieren können [5]. Da uns mit der elektrophilen Diazoalkansubstitution von Diazomethylverbindungen durch Cyclopropenyliumkationen ein allgemein anwendbares Verfahren für die Synthese von 10 zur Verfügung steht [6], haben wir die thermische Isomerisierung zu 11 intensiv untersucht [7,8,9].

Formel 2

In der vorliegenden Arbeit setzen wir uns nun mit der Synthese von Diaminopyridazinen aus Diaminocyclopropenyliumsalzen und Diazomethylverbindungen gemäß $9 \rightarrow 10 \rightarrow 11$ auseinander.

Ausgangsverbindungen dieser Untersuchung sind die Diaminocyclopropenyliumsalze 14a-c. Zu 14a gelangt man von Tetrachlorocyclopropen (12) ausgehend, durch Phenylierung unter Friedel-Crafts-Bedingungen mit Benzol und anschließenden nukleophilen Halogenaustausch an 13 mit N-Methylanilin. Die Cyclopropenyliumsalze 14b und c sind literaturbekannt.

Korrekte analytische und spektroskopische Daten (s. experimenteller Teil) bestätigen die Konstitution von 14a; hervorgehoben sei, daß in dessen 'H-NMR-Spektrum ebenso wie auch bei 14b - eine Rotationsbehinderung um die Dreiring-Kohlenstoff/Amin-Stickstoff-Bindung an den breiten, aufgespaltenen Signalen für die N-Methylwasserstoffe zu erkennen ist [10]. Dies zeigt, daß auch in diesem Aminocyclopropenyliumsalz der Stickstoff partiell positiven Charakter besitzt.

Die Umsetzung der Diaminocyclopropenyliumsalze 14a und b mit den phosphorylierten Diazomethanen 15a-e in Methylenchlorid in Gegenwart von Ethyl-diisopropylamin liefert spezifisch die 4,5-Diaminopyridazine 16a-f (41-68%; Ausnahme 16b: 16% [11]). Im Rahmen der üblichen analytischen Methoden, konnten Pyridazine mit isomerer Konstitution gemäß 17 oder 23 nicht nachgewiesen werden (s. hierzu auch den später abgehandelten Reaktionsablauf).

Formel 4

Die Phosphorylgruppe an C-6 von 16a-e läßt sich zum einen am Auftreten der charakteristischen PO-Absorption (1161-1268 cm⁻¹) im IR-Spektrum und zum anderen durch die Absorption der an den Phosphor gebundenen Reste im ¹H-NMR-Spektrum erkennen (s. Tabelle 1). Für die ¹H-NMR-spektroskopische Zuordnung der N-Methylaminosubstituenten an C-4 bzw. C-5 werden als Vergleichsdaten entsprechende Absorptionen konstitutionell abgesicherter 3,4,5-Tris(N-methylanilino)pyridazine herangezogen. So fehlt bei **16a-e** eine Absorption im Bereich von $\delta = 3.44$ -3.49, die für einen C-3 gebundenen N-Methylanilinorest typisch ist [9]. Dagegen beobachtet man für Methylgruppen der Aminosubstituenten an C-4 bzw. C-5 Resonanzen zwischen $\delta = 2.42-2.44$ sowie $\delta = 2.88-2.97$ (s. Tabelle 1), die in sehr guter Übereinstimmung mit entsprechenden Werten der zuvor erwähnten Referenzsubstanzen stehen. Die Tieffeldverschiebung der Methylprotonen des 5-ständigen Substituenten erklärt sich aus der Nachbarschaft zum Akzeptorrest an C-6. Analoge Überlegungen führen zur Zuordnung der N-Dimethylaminoreste von 16f (s. Tabelle 1).

In den modellhaft für **16d** und **16f** gemessenen 13 C-NMR-Spektren erscheinen die vier Kohlenstoffatome des Pyridazingerüstes bei $\delta=142.47\text{-}162.15$ (s. Tabelle 2). Bei tiefstem Feld ist der dem Ringstickstoff N-2 benachbarte Kohlenstoff C-3 zu erkennen, der keine Kopplung mehr mit dem Phosphoryl-substituenten erfährt. Die große 1 J_{P,C}-Kopplung (**16d**: 222.5 Hz; **16f**: 128.0 Hz) legt eindeutig den Ringkohlenstoff C-6 fest. Bei vergleichsweise hohem Feld erscheinen die Ringkohlenstoffatome C-4 and C-5; die Signale sind jeweils durch Kopplungen mit dem Phosphor zu Dubletts aufgespalten [12].

Ebenfalls spezifisch, jedoch unter Bildung der zu 16 isomeren Pyridazinen 17a-i, verlaufen die Umsetzungen von 14c mit den phosphorylierten sowie den carbonylierten Diazoverbindungen 14a,c,d bzw. 15f-j (17-72 bzw. 51-94%); auch hier konnten keine Konstitutionsisomeren gemäß 16 oder 23 nachgewiesen werden [13]. Dies gilt auch für die Umsetzung mit 4-Nitrophenyl-diazomethan (15k), die zur Bildung von 17i führt.

Tabelle 1

IR- und 'H-NMR-Daten der 4,5-Diaminopyridazine 16a-f

			IR (KBr)			
		Pyridazin	(cm ⁻¹)	'H-NMR (Deuterochloroform) (δ in ppm, J in Hz)		
16	R	Ac	P=O	$4-H_3$ C-N [b]	$5-H_3$ C-N [b]	Substituent an C-6 [a]
а	Ph	POPh ₂	1185, 1203	2.44	2.90	_
b	Ph	PO-t-Bu ₂	1161	2.42	2.88	$1.36 (d, {}^{3}J_{P,H} = 14.1, PCCH_{3})$
c	Ph	PO(OMe)Ph	1235	2.32	2.88	$4.00 \text{ (d, } ^3J_{P,H} = 11.1, POCH_3)$
ď	Ph	PO(OMe) ₂	1250, 1268	2.37	2.97	$3.84 \text{ (d, } ^3J_{P,H} = 11.2, POCH_3)$
e	Ph	PO(OEt) ₂	1245, 1268	2.37	2.97	1.21 (t, ${}^{3}J_{H,H} = 7.0$, POCH ₂ -CH ₃) 4.27 (m, POCH ₂ CH ₃)
f	Мe	$POPh_z$	1190	2.55	2.72	-

[[]a] Aromatische Wasserstoffe sind nicht berüchsichtigt. [b] Jewils Singulett.

 ${\it Tabelle~2}$ ${\it ^{13}C-NMR-Daten~der~Diaminopyridazine~16d,f}$ sowie ${\it 17c,d}$ und ${\it g}$

	¹³ C-NMR (Deuterochloroform) (δ in ppm, J in Hz)							
Pyridazin	C-3	C-4	C-5	C-6	weitere Signale [a]			
16d	162.15	142.47 [b] (d, $J = 9.9$) [c]		$155.09 (d, {}^{1}J_{P,C} = 222.5)$	37.91, 39.24 (N- CH_3), 54.28 (d, ${}^2J_{PC} = 4.9$, PO CH_3)			
16f	159.30	145.28 (d, J = 7.4) [c] 149.28 (d, J = 13.4) [c]		$155.97 \text{ (d, } {}^{1}\text{J}_{P,C} = 128.0)$	42.09, 42.23 (N-CH ₃),			
17c	158.70	138.36 (d, ${}^{3}J_{C,P} = 11.9$)	125.16 (d, d, ${}^{2}J_{C,P} = 23.8$, ${}^{1}J_{C,H} = 165.0$)	$145.28 \text{ (d, } ^{1}\text{J}_{P,C} = 224.8)$	21.26, 21.28 (N-CHCH ₃), 47.75, 47.84 (N-CHCH ₃), 53,71 (d, ² J _{P,C} = 6.0, POCH ₃)			
17d	159.62	137.44	$124.06 \text{ (d, } ^{1}\text{J}_{\text{C,H}} = 164.1)$	143.62	21.05, 21.62 (N-CH <i>C</i> H ₃), 47.61, 47.91 (N- <i>C</i> HCH ₃), 52.61 (CO ₂ <i>C</i> H ₃), 166.27 (CO ₃ <i>C</i> H ₃)			
17g	159.65	138.66	123.95 (d, ${}^{1}J_{C,H} = 163.3$)	151.29	21.29, 21.88 (N-CHCH ₃) 48.16, 48.41 (N-CHCH ₃), 192.95 (COC ₄ H ₄)			

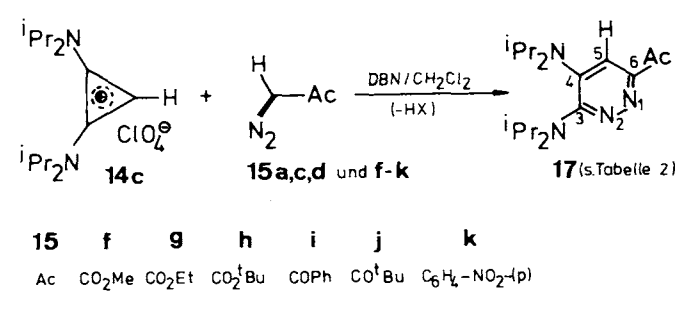
[a] Signale für Phenyl-Kohlenstoffatome sind nicht aufgeführt. [b] Der zweite heteroaromatische Kohlenstoff wird durch die Absorption der Anilinoreste überlagert und kann nicht zugeordnet werden. [c] Da² J_{P,C}-Kopplungen in ihrer Größe stark variieren können, werden weder Kopplungen noch chemische Verschiebungen zugeordnet.

Tabelle 3

IR- und 'H-NMR-Daten der 3,4-Diaminopyridazine 17a-i

	Pyridazin	IR (KBr)	(cm ⁻¹)	'H-NMR (Deutero	chloroform) (δ in ppm, J in	Hz)	
17	Ac	PO	co	$3-H_3$ C-CH-N/ $3-H_3$ C-C H -N	$4-H_3$ C-CH-N/4-H $_3$ C-CH	5-H	Substituent an C-6 [a]
a	POPh,	1220		1.26 (d) [b]/4.27 (mc) [c]	1.19 (d) [b]/4.27 (mc) [c]	$7.80 \text{ (d, } ^{3}\text{J}_{P.H} = 6.9)$	-
b	PO(OMe)Ph	1225	_	1.25 (d) [b]/4.20 (mc) [c]	1.13 (d) [b]/4.20 (mc) [c]	$7.60 \text{ (d, } ^3J_{P,H} = 8.4)$	$3.80 \text{ (d, } ^{3}\text{J}_{P,H} = 12.0,$ POCH ₂)
c	PO(OMe) ₂	1260	_	1.30 (d) [b]/4.20 (mc) [c]	1.18 (d) [b]/4.20 (mc) [c]	$7.45 \text{ (d, } ^3J_{P,H} = 7.5)$	$3.90 \text{ (d, } ^3J_{P,H} = 12.0, \\ POCH_3)$
d	CO ₂ Me	_	1720 [d]	1.32 (d) [b]/4.47 (h) [b]	1.15 (d) [b]/3.93 (h) [b]	7.65 (s)	3.95 (d, $CO_{2}CH_{3}$)
е	CO ₂ Et	_	1710 [d]	1.32 (d) [b]/4.20-4.60 (m) [e]	1.17 (d) [b]/3.97 (h) [b]	7.65 (s)	1.43 (t, ${}^{3}J_{H,H} = 6.9$, $CO_{2}CH_{2}CH_{3}$) 4.20-4.60 (m, $CO_{3}CH_{2}CH_{3}$) [e]
f	CO ₂ -t-Bu		1705 [d]	1.29 (d) [b]/4.20 (mc) [c]	1.13 (d) [b]/4.20 (mc) [c]	7.62 (s)	1.60 (s, CO ₂ CCH ₃)
g	COPh	_	1650	1.30 (d) [b]/4.45 (h) [b]	1.13 (d) [b]/4.00 (h) [b]	7.73 (s)	
ň	CO-t-Bu		1670	1.33 (d) [b]/4.23 (mc) [c]	1.20 (d) [b]/4.23 (mc) [c]	7.53 (s)	1.53 (s, $COCCH_3$)
i	C ₆ H ₄ -NO ₂ -(4)	_	_	1.30 (d) [b]/4.27 (mc) [c]	1.23 (d) [b]/4.27 (mc) [c]	7.33 (s)	

[a] Aromatische Wasserstoffe bleiben unberücksichtigt. [b] ³J_{H,H} ist jeweils 6.6 Hz. [c] Eintsteht durch überlagerung der beiden Methinheptetts. [d] Film. [e] Überlagerung der Signale von CH₃CHN und CO₂CH₂CH₃.



Formel 5

In den IR-Spektren von **17a-c** erkennt man typische PO-Absorptionen bei 1220-1260 cm⁻¹; die Pyridazine **17d-h** sind durch Carbonylfrequenzen im Bereich von 1650-1720 cm⁻¹ gekennzeichnet (s. Tabelle 3).

In den ¹H-NMR-Spektren von **17a-i** erkennt man den Pyridazinwasserstoff im aromatischen Bereich bei $\delta = 7.33-7.80$ ppm. Für **17a-c** ist das Signal aufgrund der Phosphorkopplung mit 6.9-8.4 Hz aufgespalten; die Größe dieser Kopplungskonstanten läßt die Nachbarschaft von Phosphorylsubstituent und Pyridazinwasserstoff erkennen [14]. Für die Diisopropylaminoreste an C-3 und C-4 gelten

bezüglich der Zuordnung der Methyl- und Methin-Protonen die gleichen Überlegungen wie für die Aminosubstituenten von 16a-f. Sowohl die Methylprotonen (δ = 1.25-1.33) wie auch die Methinprotonen ($\delta = 4.20$ -4.45) der 3-Aminoreste erscheinen bei tiefstem Feld, was auf die Elektronegativität von N-2 sowie den Akzeptorcharakter des 6-ständigen Substituenten zurückzuführen ist. Da sich beide Effekte auf die 4-Diisopropylaminogruppen von 17a-i kaum oder garnicht auswirken, sind die entsprechenden Signale hochfeldverschoben (Methylwasserstoff: $\delta = 1.13$ -1.23; Methinwasserstoff: $\delta = 3.93$ -4.27). Diese Absorptionen harmonieren sehr gut mit denen von Pyridazinen, denen der 3-Aminosubstituent fehlt (17 t-Bu statt 3-i-Pr₂N- und 5-H [9]). Die Signale für die Phosphoryl- und Acylreste an C-6 erscheinen im üblichen Bereich (s. Tabelle 3).

Die 13 C-NMR-Spektren, die beispielhaft von 17c, d und g aufgenommen wurden, lassen vier aromatische Ringkohlenstoffatom im Bereich von $\delta=137.44$ -159.65 erkennen. Bei tiefstem Feld erscheint C-3 ($\delta=158.70$ -159.65), wobei im Falle von 17c keine Aufspaltung durch den Phosphor beobachtet wird. Bei höherem Feld ($\delta=143.62$ -151.29) treten die Absorptionen von C-6 auf. Hier gibt sich der

Phosphorylrest von 17c durch eine ${}^1J_{P,C}$ -Kopplung von 224.8 Hz zu erkennen. Die Ringkohlenstoffe C-4 ($\delta=137.44$ -138.66) und C-5 ($\delta=123.95$ -125.16) erfahren die geringste Entschirmung (s. Tabelle 2); letzterer läßt sich eindeutig aufgrund der ${}^1J_{C,H}$ Kopplung von 163.3-165.0 Hz zuordnen. Im Falle von 14c ergibt sich daraus zwangsläufig die Zuordnung der geminalen und vicinalen $J_{P,C}$ -Kopplung mit 23.8 bzw. 11.9 Hz. Die Resonanzen der Aminreste und Acceptorgruppen liegen im üblichen Bereich (s. Tabelle 2) und bedürfen keiner Kommentierung.

Berücksichtigt man den Donorcharakter von Aminosubstituenten, so kann dies den Charakter von Cyclopropenyliumverbindungen [14(A)] stark beeinflussen, so daß die elektrophilen Eigenschaften das Dreirings verlorengehen [14(B)] oder gar durch nukleophiles Verhalten ersetzt werden [14(C)] [15,16]. Aus der Umsetzung von 14b mit Malodinitril [17] bzw. Cyanamid [18] weiß man, daß ein ladungskontrollierter Angriff von Nukleophilen an C-1 bzw. C-2 erfolgt.

Für die Reaktion 14a,b + 15 nehmen wir an, daß im geschwindigkeitsbestimmenden Reaktionsschritt elektrophile Diazoalkansubstitution [6] an C-1 bzw. C-2 zu 18 stattfindet, der sich eine rasche [1,5]-Cyclisierung zum Betain 20 anschließt, so daß die (Diazomethyl)cyclopropene nicht isoliert werden können. Im Betain 20 sind sowohl positive als auch negative Ladung durch geeignete Substituenten stabilisiert, so daß wir den alternativen Cyclisierungsschritt 18 - 21, der letztlich die 3,5-Diaminopyridazine 23 liefern müßte, ausschließen. Auch wenn im Aminocyclopropanyl-/Aminoallylkation-System das cyclische Kation um etwa 140 kJ/mol⁻¹ stabiler als das offenkettige Isomer ist [19], so dürfte die treibende Kraft der abschlie-Benden Ringöffnung 20 → 16, in der Aromatisierung des Systems zu suchen sein. Aufgrund unserer experimentellen Ergebnisse scheidet ein primärer Angriff von 15 an C-3 von 14a und b, der über die Zwischenstufen 19 und 22 zu den 3,4-Diaminopyridazinen 17 (Ph statt H) führt, aus.

Im Gegensatz zu 14a und b erfolgt mit 14c und 15 die primäre Reaktion an C-3 unter Bildung der (Diazomethyl)cyclopropene 19. Auch in diesem Falle folgt eine schnelle [1,5]-Cyclisierung zum Betain 22 mit abschließender Aromatisierung zu 17, so daß auch hier kein Diazointermediat isoliert werden kann. Die einleitende Bildung von 19 mag überraschen, da sie einer ladungskontrollierten Reaktion von 15 mit 14c widerspricht. Man erwartet vielmehr den Angriff von Elektrophilen an C-3 [20, 21] und nicht den von 15 mit nukleophilem Kohlenstoff. Hier dominiert offenbar der sterische Einfluß der beiden Diisopropylaminogruppen an C-1 und C-2 über den elektronischen Effekt gemäß 14(C) und erzwingt die Reaktionsfolge 14c \rightarrow 19 \rightarrow 22 \rightarrow 17. Diazomethan und Diazoethan reagieren mit dem gleichen Diaminocyclopropeny-

liumsalz völlig analog, d.h. zu Pyridazinen der Konstitution 17 (H bzw. Me anstatt Ac) [22].

Formel 7

Grundsätzlich können die betainartigen Zwischenstufen 20 bzw. 22 auch durch [3+2]-Cycloaddition der Diazoverbindungen 15 an die Cyclopropenyliumsalze 14 entstehen, wenn die Salze 24 bzw. 25 noch HX-Abspaltung eingehen. Gegen diese Vorstellung sprechen zahlreiche Beispiele erfolgreicher elektrophiler Diazoalkansubstitutionen mit Cyclopropenyliumsalzen an 15.

Schließlich ist als mechanistische Alternative zu den Isomerisierungsschritten $18 \rightarrow 16$ bzw. $19 \rightarrow 17$ noch die intramolekulare [3+2]-Cycloaddition etwa von 18 zu diskutieren, die Bildung von Diazabenzvalenen (26, analog für 19) zur Folge hätte. Dem stehen nicht nur Ringspannungsgründe entgegen sondern auch die nur wenig wahrscheinliche thermisch erlaubte $[\sigma_{2s} + \sigma_{2a}]$ -Ringöffnung [23] zu Pyridazinen mit trans-Doppelbindung [24].

EXPERIMENTELLER TEIL

Die nachstehend aufgeführten Daten wurden folgendermaßen erhalten: Schmelzpunkte: Mettler-FP 5 (Aufheizrate 3°/min, unkorrigiert, Elementaranalysen: Perkin-Elmer Analyzer 240; IR-Spektren: Beckman-IR 20 A; ¹H-NMR-Spektren: Varian EM 360 und Varian EM 390 (Tetramethylsilan als innerer Standard); ¹³C-NMR-Spektren: Bruker WP 200 (Tetramethylsilan als innerer Standard); Nassenspektren: Varian MAT 311; Säulenchromatographie: Kieselgel-Woelm, 0.06-0.2 mm (die Trennungen wurden an Fertigplatten Macherey und Nagel ALUGRAM SIL G/UV₂₅₄ kontrolliert). Alle Lösungsmittel waren wasserfrei und destiliert.

Bis(N-methylanilino)phenylcyclopropenylium-tetrafluoroborat (14a).

Aus 5.34 g (30.0 mmol) Tetrachlorcyclopropen (12) [25] und 4.00 g (30.0 mmol) Aluminiumtrichlorid wird bei 0° in 50 ml Dichloromethan eine Suspension von Trichlorcyclopropenylium-tetrachloraluminat hergestellt [26]. Hierzu tropft man bei 20° 2.34 g (30.0 mmol) Benzol, rührt weitere 2 Stunden und fügt anschließend 12.86 g (120.0 mmol) N-Methylanilin tropfenweise zu. Nach weiteren 12 Stunden Rühren versetzt man die Lösung portionsweise mit 4.39 g (25.0 mmol) 50proz. Tetrafluorborsäure, wäsht dreimal mit 50 ml Wasser, trocknet die organische Phase

über Magnesiumsulfat und entfernt das Lösungsmittel i. Vak.. Der dunkelbraune, ölige Rückstand wird in wenig Dichlormethan gelöst, mit 50 ml Essigsäure-ethylester versetzt, auf -20° gekühlt und zur Kristallisation angerieben. Umkristallisieren des ockerfarbenen Produktes aus Methanol liefert 5.2 g (42%) farbloses **14a** vom Schmp. 180°; IR (Kaliumbromid): 3058, 2940, 1930, 1545, 1480, 1408, 1050, 780, 760, 701, 694 cm⁻¹; 'H-NMR (Deuterochloroform): $\delta = 3.03$, 3.78 (breite s, 3H, NCH₃), 3.88 (s. 3H, NCH₄).

Anal. Ber. für $C_{23}H_{21}BF_4N_2$ (412.24): C, 67.01; H, 5.13; N, 6.79. Gef: C, 67.1; H, 5.13; N, 6.8.

Weitere Cyclopropenyliumsalze.

14b [10]; 14c [20].

Diazoverbindungen.

15a [27]; 15b [8]; 15c [28]; 15d [29]; 15e [27]; 15f [30]; 15g [30]; 15h [31]; 15i [32]; 15j [32]; 15k [33].

Allgemeine Vorschrift zur Herstellung der 4,5-Diaminopyridazine 16a-e.

Die Lösung äquimilarer Mengen von 14a, 15a-e und Ethyl-diisopropylamin in 15-20 ml Dichlormethan wird 3 Tage bei Raumtemperatur gerührt. Nach Verdampfen des Lösungsmittels bei 30°/15 Torr wird der Rückstand an 220 g Kieselgel mit 800-1000 ml Chloroform/Diethylether 1:1 chromatographiert, wobei die Pyridazine als intensiv gelbe Fraktionen anfallen, die gegebenfalls aus Essigsäure-ethylester umkristallisiert werden. Die spektroskopischen Daten sind in den Tabellen 1 und 2 zusammengestellt.

6-Diphenylphosphoryl-4,5-bis(methylanilino)-3-phenylpyridazin (16a).

Aus 1.65 g (4.00 mmol) **14a**, 0.97 g (4.00 mmol) **15a** und 0.52 g (4.00 mmol) Ethyl-diisopropylamin erhält man 0.92 g (41%) gelbe Kristalle (aus n-Hexan) vom Schmp. 174°; MS (70 eV): m/e = 566 (M * , 22%), 475, 399, 383, 201, 106, 77 (100%).

Anal. Ber. für $C_{36}H_{31}N_4OP$ (566.64): C, 76.31; H, 5.51; N, 9.89. Gef: C, 76.4; H, 5.65; N, 9.7.

6-(Di-t-butylphosphoryl)-4,5-bis(methylanilino)-3-phenylpyridazin (16b).

Aus 1.24 g (3.00 mmol) **14a**, 0.61 g (3.00 mmol) **15b** und 0.39 g (3.00 mmol) Ethyl-diisopropylamin erhält man 0.25 g (16%) gelbe Kristalle vom Schmp. 171°.

Anal. Ber. für $C_{32}H_{39}N_4OP$ (526.66): C, 72.98; H, 7.46; N, 10.64. Gef: C, 72.8; H, 7.44; N, 10.6.

 $\hbox{ 6-(Methoxy-phenylphosphoryl)-4,5-bis (methylanilino)-3-phenylpyridazin } \\ \hbox{ (16c)}.$

Aus 2.06 g (5.00 mmol) 14a, 0.98 g (5.00 mmol) 15c und 0.65 g (5.00 mmol) Ethyl-diisopropylamin erhält man 1.29 g (50%) gelbe Kristalle vom Schmp. 158°.

Anal. Ber. für $C_{31}H_{29}N_4O_2P$ (520.57): C, 71.53; H, 5.62; N, 10.76. Gef: C, 71.4; H, 5.72; N, 10.8.

6-Dimethoxyphosphoryl)-4,5-bis(methylanilino)-3-phenylpyridazin (16d).

Aus 2.06 g (5.00 mmol) 14a, 0.81 g (5.00 mmol) 15d und 0.65 g Ethyldiisopropylamin erhält man 1.58 g (67%) gelbe Kristalle vom Schmp. 175°.

Anal. Ber. für $C_{26}H_{27}N_4O_3P$ (474.50): C, 65.81; H, 5.74; N, 11.81. Gef: C, 65.8; H, 5.74; N, 11.9.

 $6\text{-}Diethoxyphosphoryl-4,} 5\text{-}bis (methylanilino)-3\text{-}phenylpyridazin } \textbf{(16e)}.$

Aus 1.65 g (4.00 mmol) 14a, 0.71 g (4.00 mmol) 15e und 0.52 g (4.00 mmol) Ethyl-diisopropylamin erhält man 0.84 g (42%) gelbe Kristalle vom Schmp. 134°.

Anal. Ber. für $C_{28}H_{31}N_4O_3P$ (518.55): C, 66.92; H, 6.22; N, 11.15. Gef: C, 66.5; H, 6.24; N, 11.0.

4,5-Bis(dimethylamino)-6-diphenylphosphoryl-3-phenylpyridazin (16f).

Dis Lösung von 0.47 g (2.00 mmol) 14b, 0.97 g (4.00 mmol) 15a und

0.75 g (6.00 mmol) 1,5-Diazabicyclo[4.3.0]non-5-en in 60 ml Dichlormethan wird 7 Tage bei Raumtemperatur gerührt. Anschließend dampft man bei 30°/15 Torr ein und chromatographiert denRückstand an 150 g Kieselgel mit 1500-2000 ml Essigsäure-ethylester. Die Pyridazinfraktion wird i.Vak. eingedampft, der Rückstand in n-Hexan zur Kristallisation angerieben und abschließend aus Dichlormethan/Diethylether umgefällt. Man erhält 0.60 g (68%) gelbe Kristalle vom Schmp. 187°; MS (70 eV): m/e = 442 (M*, 2%), 428, 427, 398, 201 (100%), 169, 92, 77. Weitere spektroskopische Daten befinden sich in den Tabellen 1 und 2.

Anal. Ber. für C₂₆H₂₇N₄OP (442.50): C, 70.57; H, 6.15; N, 12.66. Gef: C, 70.3; H, 6.15; N, 12.5.

Allgemeine Vorschrift zur Herstellung der 3,4-Diaminopyridazine 17a-i.

Die Lösung von 0.34 g (1.00 mmol) 14c, 15a,c,d,f-k (3.00 mmol) und 0.50 g (4.00 mmol) 1,5-Diazabicyclo[4.3.0]non-5-en in 50 ml Dichlormethan wird wie im Einzelfall beschrieben bei Raumtemperatur gerührt. Anschließend entfernt man das Lösungsmittel bei 30°/15 Torr und chromatographiert den Rückstand an 420 g Kieselgel mit 1500-2000 ml Essigsäure-ethylester. Man erhält so nacheinander die Pyridazine 17a-i und nicht umgesetzte Diazoverbindung 15. Die spektroskopischen Daten sind in den Tabellen 2 und 3 zusammengestellt.

3,4-Bis(diisopropylamino)-6-diphenylphosphorylpyridazin (17a).

Nach 60 Stunden Reaktionsdauer und Umkristallisieren aus n-Hexan erhält man 1.00 g (72%) gelbe Kristalle vom Schmp. 141°.

Anal. Ber. für $C_{28}H_{39}N_4OP$ (478.62): C, 70.25; H, 8.21; N, 11.71. Gef: C, 70.2; H, 8.10; N, 11.7.

3,4-Bis(diisopropylamino)-6-(methoxy-phenylphosphoryl)pyridazin (17b).

Nach 5 Tagen Reaktionsdauer und Umkristallisieren aus n-Hexan unter Kühlen auf -40° erhält man 0.39 g (32%) gelbe Kristalle vom Schmp. 114°; MS (19 eV): m/e = 432 (M*, 4%), 389 (100%), 346, 289, 155, 100, 43.

Anal. Ber. für $C_{23}H_{37}N_4O_2P$ (432.54): C, 63.87; H, 8.62; N, 12.95. Gef: C, 64.1; H, 8.53; N, 12.8.

3,4-Bis(diisopropylamino)-6-dimethoxyphosphorylpyridazin (17c).

Nach 3 Tagen Reaktionsdauer und Umkristallisieren aus n-Hexan unter Kühlen auf -40° erhält man 0.19 g (17%) gelbe Kristalle vom Schmp. 53°; MS (19 eV): $m/e = 386 \, (M^{\star}, \, 4\%)$, 343 (100%), 300, 100, 43. Anal. Ber. für $C_{18}H_{35}N_4O_3P$ (386.47): C, 55.94; H, 9.13; N, 14.49. Gef: C, 55.9; H, 9.04; N, 14.6.

3,4-Bis(diisopropylamino)-6 (methoxycarbonylpyridazin (17d).

Nach 12 Tagen Reaktionsdauer und Destillation im Kugelrohr (Ofentemperatur 210°/0.7 Torr) erhält man 0.25 g (74%) gelbes Öl, das bei – 20° erstarrt. Umkristallisieren aus n-Hexan ergibt blaßgelbe Kristalle vom Schmp. 40-42°; MS (19 eV): m/e = 336 (M*, 6%), 293 (100%), 250, 100, 59, 43.

Anal. Ber. für $C_{18}H_{38}N_4O_2$ (336.48): C, 64.25; H, 9.59; N, 16.65. Gef: C, 63.8; H, 9.34; N, 16.7.

3,4-Bis(diisopropylamino)-6-ethoxycarbonylpyridazin (17e).

Nach 5 Tagen Reaktionsdauer und Destillation im Kugelrohr (Ofentemperatur 230°/4 \times 10° Torr) erhält man 0.18 g (51%) gelbes Öl, das nicht zur Kristallisation gebracht werden konnte; MS (70 eV): m/e = 350 (M*, 7%), 308, 264 (100%), 208, 177, 100, 67, 43.

Anal. Ber. für $C_{19}H_{34}N_4O_2$ (350.51): C, 65.11; H, 9.78; N, 15.98. Gef: C, 65.0; H, 9.58; N, 16.0.

6-t-Butoxycarbonyl-3,4-bis(diisopropylamino)pyridazin (17f).

Nach 6 Tagen Reaktionsdauer und Destillation im Kugelrohr (Ofentemperatur 250°/0.7 Torr) erhält man 0.22 g (58%) gelbes Öl, das nicht zur Kristallisation gebracht werden konnte; MS (70 eV): m/e = 378 (M*, 6%), 336, 292, 278, 235 (100%), 100, 57, 43. Da sich das Öl bei der Destillation im Kugelrohr teilweise zersetzte, konnte keine befriedigende Elementaranalyse erhalten werden.

6-Benzoyl-3,4-bis(diisopropylamino)pyridazin (17g).

Nach 2 Tagen Reaktionsdauer und Umkristallisieren aus n-Hexan erhält man 0.18 g (47%) gelbe Kristalle vom Schmp. 79°.

Anal. Ber. für $C_{23}H_{34}N_4O$ (382.55): C, 72.21; H, 8.95; N, 14.65. Gef: C, 71.9; H, 8.84; N, 14.5.

3,4-Bis(diisopropylamino)-6-pivaloylpyridazin (17h).

Nach 2 Tagen Reaktionsdauer und Umkristallisieren aus n-Hexan erhält man 0.34 g (94%) gelbe Kristalle vom Schmp. 65°.

Anal. Ber. für $C_{21}H_{36}N_4O$ (362.56): C, 69.57; H, 10.56; N, 15.43. Gef: C, 69.5; H, 10.39; N, 14.9.

3,4-Bis(diisopropylamino)-6-(4-nitrophenyl)pyridazin (17i).

Nach 3 Tagen Reaktionsdauer behandelt man zunächst das Rohprodukt vor der säulenchromatographischen Aufarbeitung mit verdünnter Essigsäure um überschüssiges 15k zu zerstören. Umkristallisieren aus n-Hexan liefert 0.19 g (67%) intensiv gelbe Kristalle vom Schmp. 125°.

Anal. Ber. für C₂₂H₃₃N₅O₂ (399.54): C, 66.14; H, 8.33; N, 17.53. Gef: C, 65.9; H, 8.14; N, 17.3.

Der Deutschen Forschungsgemeinschaft und dem Fonds der Chemischen Industrie schulden wir Dank für finanzielle Unterstützung. Frau M. Alester danken wir für die Durchführung der Elementaranalysen.

REFERENZEN UND FUSSNOTEN

- [1] LXI. Mitteilung über Untersuchungen an Diazoverbindungen und Aziden. LX. Mitteilung: W.Theis und M. Regitz, *Chem. Ber.*, 118, im Druck (1985).
- [2] A. Kleemann und J. Engel, Pharmazeutische Wirkstoffe: Synthesen, Patente, Anwendungen, 1. Aufl., S.34,331,448 und 454, Thieme, Stuttgart 1978.
- [3] R. N. Castle in "The Chemistry of Heterocyclic Compounds", Herausgeber: A. Weisberger und E. C. Taylor, Bd 28, Wiley, New York, 1973. S. 1ff.
- [4] M. Tišler und B. Stanovnik in "Comprehensive Heterocyclic Chemistry", Herausgeber: A. R. Katritzky und C. W. Rees, Bd. 3 Pergamon Press, Oxford, 1984, S. 1ff.
- [5] A. E. Freiring und J. Ciabattoni, J. Org. Chem., 37, 3784 (1972).
 - [6] Übersicht: J. Fink und M. Regitz, Synthesis, im Druck (1985).
- [7] A. Heydt, H. Heydt, B. Weber und M. Regitz, Chem. Ber., 115, 2965 (1982).
 - [8] Ph. Eisenbarth und M. Regitz, Chem. Ber., 117, 445 (1984).
- [9] H. Heydt, Ph. Eisenbarth, K. Feith, K. Urgast, G. Maas und M. Regitz, Isr. J. Chem., im Druck (1985).
 - [10] S. hierzu: M. Seitz und G. Arndt, Synthesis, 692 (1976).
- [11] Für die geringe Ausbeute machen wir in erster Linie sterische Reaktionsbehinderung durch die t-Butylgruppen verantwortlich. [12] Vergleiche: H. O. Kalinowski, S. Berger und S. Braun, "13C-
- NMR-Spektroskopie", 1. Aufl., Thieme, Stuttgart, 1984, S. 530.
- [13] Die teilweise bescheidenen Ausbeuten beruhen auf Verlusten bei der säulenchromatographischen Aufarbeitung.
- [14] Für Aromaten mit Phosphorylsubstituenten gleicher Konstellation gilt ³J_{P,H} = 10.5-11.5 Hz: N. F. Chamberlain, "The Practice of NMR-Spectroscopy", 1. Aufl., Plenum-Press, New York, 1974, S. 333.
- [15] D. Lloyd und H. McNab, Angew. Chem., 88, 496 (1976); Angew. Chem., Int. Ed. Engl., 15, 459 (1976).
- [16] Z. Y. Yoshida, H. Konishi und H. Ogoshi, Isr. J. Chem., 21, 139 (1981).
- [17] G. Arndt, T. Kämpchen, R. Schmiedel, G. Seitz und R. Sutrisno, Ann. Chem., 1409 (1980).
 - [18] G. Seitz und G. Kaiser, Chem. Z., 105, 60 (1981).
- [19] L. Random, J. A. Pople und P. v. R. Schleyer, J. Am. Chem. Soc., 95, 8193 (1973).
- [20] R. Weiss und C. Priesner, Angew. Chem., 90, 484 (1978); Angew. Chem., Int. Ed. Engl., 17, 445 (1978).
 - [21] T. Clark und R. Weiss, J. Org. Chem., 45, 1790 (1980).

- [22] Z.-I. Yoshida, H. Konishi, K. Hayashi und H. Ogoshi, Heterocycles, 5, 401 (1976).
- [23] R. B. Woodward und R. Hoffman, Angew. Chem., 81, 797 (1969); Angew. Chem., Int. Ed. Engl., 8, 781 (1969).
- [24] S. hierzu Lit. [23] sowie G. Maier, Valenzisomerisierungen, 1. Aufl., S. 138 und 160, Verlag Chemie, Weinheim, 1972.
- [25] S. W. Tobey und R. West, J. Am. Chem. Soc., 88, 2481 (1966).
 [26] J. S. Chickos, E. Patton und R. West, J. Org. Chem., 39, 1647
- (1974).
 [27] M. Regitz, A. Liedhegener, U. Eckstein, M. Martin und W. Anschütz, Ann. Chem., 748, 207 (1971).
 - [28] U. Felcht und M. Regitz, Chem. Ber., 108, 2040 (1975).
- [29] D. Seyferth, R. S. Marmor und P. Hilbert, J. Org. Chem., 36, 1379 (1971).
- [30] N. E. Searle, Org. Synth., Coll. Vol., 4, 424, Wiley, New York, 1963.
- [31] M. Regitz, J. Hocker und A. Liedhegener, Org. Synth., Coll. Vol.

- 5, 179, Wiley, New York, 1973.
 - [32] M. Regitz und F. Menz, Chem. Ber., 101, 2622 (1968).
- [33] H. W. Davies und M. Schwarz, J. Org. Chem., 30, 1242 (1965). English Summary.

Diaminocyclopropenylium salts **14a,b** react specifically with the phosphorylated diazomethanes **15a-e** in dichloromethane in the presence of ethyl diisopropylamine and 1,5-diazabicyclo[4.3.0]non-5-ene respectively to the 4,5-diaminopyridazines **16a-f**. In contrast to that the 3,4-diaminopyridazines **17a-i** are formed in the reaction of the salt **14c** with the diazomethyl compounds **15a,c,d** such as **f-k** in dichloromethane in the presence of the bicyclic base. With regard to the reaction mechanism the formation of the intermediate diazomethyl cyclopropenes (**14a,b** + **15** \rightarrow **18** or **14c** + **15** \rightarrow **19**) has to be interpreted in the sense of an electrophilic diazoalkane substitution reaction; neither **18** nor **19** can be isolated but undergo a fast [1,5]-cyclization to the betaines **20** or **21**, which finally isomerize to the pyridazines **16** or **17** by opening of the bridge bond.